

لایه‌های نازک اکسید قلع آلاییده با فلورور دارای شاخص شایستگی بالا رشدیافته به روش گرما کافت افشاره‌ای: اثر مقدار آلایینده بر ویژگی‌های فیزیکی

حسن زارع اصل^{۱*}، سیدمحمد روضاتی^۲

۱- گروه فیزیک، دانشگاه صنعتی خاتم الانبیاء بهبهان، بهبهان، ایران

۲- گروه فیزیک، دانشگاه گیلان، رشت، ایران

(دریافت مقاله: ۱۴۰۳/۵/۸، نسخه نهایی: ۱۴۰۳/۷/۲۳)

چکیده: لایه‌های نازک اکسید قلع آلاییده با فلورور (FTO) با روش گرمکافت افشاره‌ای روی بستر لام شیشه‌ای رشد داده شدند. مقدار آلایینده فلورور (نسبت اتمی $[F]/[Sn]$) در محلول پیش‌ماده به ترتیب برابر با $0\text{, }20\text{, }30\text{, }40$ درصد اتمی در نظر گرفته شد. با ورود F به ساختار SnO_2 ، بافت لایه‌های نازک دچار تغییرات عامل اصلی بهبود تحرک حامل‌های بار تشخیص داده شد. بهبود تحرک حامل‌های بار در کنار افزایش غلظت آنها در اثر جایگزینی O^{2-} با F^- ، باعث افزایش قابل توجه رسانندگی در لایه‌های آلاییده شد. آلایینده F همچنین باعث افزایش شفافیت و جابه‌جایی لبه جذب لایه‌های نازک FTO به سمت طول موج‌های پایین تر گردید. سرانجام لایه نازک FTO با آلایینده ۳۰ درصد اتمی مقاومت ویژه $10\text{ }\Omega\text{-cm}^{4-10}$ ، مقاومت سطحی $16\text{ }\Omega/\text{sq}$ و متوسط عبور٪ ۸۷/۴۷ را فراهم آورد که در نتیجه آن شاخص شایستگی^۱ $10\text{ }\Omega^{-1}\times 1,65\times 10^2$ برای آن محاسبه گردید.

واژه‌های کلیدی: لایه نازک O_x؛ آلایینده؛ مقاومت ویژه؛ عبور؛ شاخص شایستگی؛ گرمکافت افشاره‌ای.

استفاده، میزان رسانندگی و شفافیت در لایه‌های نازک مورد اشاره را بهینه نمود. از سویی با آلایینده مناسب این مواد، می‌توان بدون ایجاد تهیجای اکسیژن، به صورت مؤثر غلظت حامل‌های بار آزاد را افزایش داد. بر این اساس، آلایینده ZnO با فلزهای آلومینیوم (Al) و ایندیم (In) به ترتیب منجر به پیدایش لایه‌های نازک اکسید رسانای شفاف AZO [۶] و IZO [۷] گردید. همچنین، آلایینده In_2O_3 با فلز قلع (Sn) و آلایینده SnO₂ با عنصر فلورور (F) به ترتیب ITO [۸] و FTO [۹] را بوجود آوردند. لایه‌های نازک آلاییده جدید به طور قابل توجهی در هر دو زمینه رسانندگی و شفافیت از اکسیدهای فلزی پایه خود پیشی گرفتند. رسانندگی در نیمرسانها ارتباط مستقیم با دو عامل غلظت

مقدمه

دارا بودن همزمان رسانندگی و شفافیت بالا، لایه‌های نازک اکسید رسانای شفاف (TCO) را به گزینه مطلوب برای بسیاری از کاربردهای فناوری چون سلول‌های خورشیدی [۱]، دیودها [۲]، سلول‌های الکتروشیمیایی [۳] و پنجره‌های هوشمند [۴] تبدیل کرده است. به طور کلی، اکسیدهای فلزی ZnO و In_2O_3 ، که همه به طور ذاتی نیمرساناهایی از نوع n هستند، پایه غالب اکسیدهای رسانای شفاف هستند [۵]. سازوکار اصلی در ایجاد و افزایش غلظت حامل‌های بار آزاد در این مواد، وجود تهیجای اکسیژن در ساختار آنهاست. البته تهیجای اکسیژن خود باعث افزایش جذب در گستره طیفی نور مرئی می‌شود. سرانجام می‌توان با تنظیم دقیق عوامل لایه‌نشانی در روش مورد

*نویسنده مسئول، تلفن: ۰۹۱۶۳۷۱۵۹۵۰، پست الکترونیکی: zare@bkatu.ac.ir



نازک محاسبه شد. مقاومت ویژه $\Omega \cdot \text{cm} = ۸/۰\,۹ \times ۱۰^{-۴}$ برابر با $۸۸/۵\%$ برای نمونه با مقدار آلاینده ۳۰ at.\% بود. این مقادیر با بهترین نتایج بدست آمده برای لایه‌های نازک FTO لایه‌نشانی شده به روش افشاره ای قابل مقایسه است. افزون بر مشخصه‌یابی‌های الکتریکی و اپتیکی، مشخصه‌های ساختاری و ریختاری نمونه‌های FTO رشدیافتنه نیز بررسی گردید. به این ترتیب افزون بر یافتن مقدار بهینه آلاینده F. لایه‌های نازک FTO با شاخص شایستگی بالا و قابل مقایسه با بهترین نتایج بدست آمده به روش گرما کافت افشاره ای رشد داده شدند.

مواد و روش‌ها لایه نشانی

برای تهیه محلول پیش‌ماده لایه نازک خالص SnO_2 . از محلول $۰/۳\text{ M}$ کلرید قلع دوا به $(\text{SnCl}_2 \cdot 2\text{H}_2\text{O})$ در ترکیبی از حلال‌های اسید کلریدریک (HCl) $(\text{HCl}) = ۳/۷\%$, آب و متانول با نسبت‌های به ترتیب $۱:۲۹:۱۰$ استفاده شد. به این ترتیب که نخست مقدار $۰/۶۷۷\text{ gr}$ از $\text{SnCl}_2 \cdot 2\text{H}_2\text{O}$ در $۰/۲۵\text{ ml}$ HCl حل شد تا محلولی کاملاً شفاف بدست آمد. بررسی‌ها نشان داده است که HCl باعث شکسته شدن پیوندهای قوی یونی $\text{SnCl}_2 \cdot 2\text{H}_2\text{O}$ شده و در نتیجه واکنش میان آن‌ها، مولکول‌های به نسبت ناپایدار HSnCl_3 در محلول بوجود می‌آیند [۱۵]. روشن است که حضور این مولکول‌های ناپایدار به عنوان منبع قلع در واکنش گرم‌آفتاب باعث تسریع فرآیند رشد لایه نازک می‌شود. البته، وجود HCl اضافی در محلول پیش‌ماده خود ممکن است منجر به تشکیل ترکیب‌هایی با پایداری بیشتر گردد که لزوم یافتن مقدار بهینه HCl را نشان می‌دهد. مقدار HCl استفاده شده در این پژوهش با مقادیر بهینه بدست آمده در بررسی‌های مشابه همخوانی قابل قبول دارد [۱۶]. در مرحله بعد، محلول بدست آمده با $۰/۲۵\text{ ml}$ آب یون زدوده رقیق شد و در پایان، $۰/۵\text{ ml}$ متانول به محلول پیش‌ماده لایه گردید. در نتیجه $۱/۰\text{ ml}$ محلول پیش‌ماده برای لایه‌نشانی نازک خالص SnO_2 بدست آمد. به منظور آلاینده F در شبکه بلوری SnO_2 ، مقادیر متناسب با نسبت‌های اتمی $[\text{F}]/[\text{Sn}] = ۰/۲۰$ ، $۰/۳۰$ و $۰/۴۰\text{ at.\%}$ از آمونیوم فلوراید (NH_4F) به محلول پیش‌ماده اضافه شد (جدول ۱). لایه‌های نازک FTO بدست آمده به ترتیب F1، F2، F3 و F4 نامیده شدند.

حاملهای بار آزاد و همچنین مقدار تحرک آنها دارد. اگرچه آلاینده اکسیدهای فلزی نیمرسانای ذاتی با فلزهای مناسب باعث افزایش قابل توجه غلظت حامل بار در آنها می‌گردد، اما بررسی‌ها نشان داده است که حضور فلز به صورت آلاینده در ساختار این مواد باعث ایجاد آشفتگی در نوار رسانش آنها می‌شود. این امر باعث محدود شدن مقدار تحرک و در نتیجه رسانندگی در این مواد می‌شود. در مقابل، استفاده از آلاینده‌های غیرفلزی چون F، آشفتگی را به نوار ظرفیت محدود مرده و شرایط را برای دستیابی به تحرک بیشتر مهیا می‌سازد. افزون بر این، FTO در میان اکسیدهای رسانای شفاف تقریباً دارای کمترین مقدار سمیت، کمترین هزینه تولید، بالاترین دوام مکانیکی و شیمیایی و بیشترین پایداری گرمایی است [۱۰].

بر این اساس، در سال‌های اخیر پژوهش‌هایی با هدف یافتن مقدار بهینه آلاینده F در ساختار لایه‌های نازک SnO_2 و دستیابی همزمان به بالاترین مقدار رسانندگی و شفافیت انجام شده است. بن‌ها و همکاران [۱۱]، مقدار آلاینده F را از $۰/۳\text{ at.\%}$ وزنی در لایه‌های نازک FTO تهیه شده به روش گرما کافت افشاره ای تغییر دادند و ویژگی‌های فیزیکی لایه‌ها را بررسی کردند. آنها کمترین مقاومت ویژه $(\Omega \cdot \text{cm}) = ۱/۴۷ \times ۱۰^{-۴}$ را برای نمونه با آلاینده ۶% وزنی گزارش کردند. توین و همکاران [۱۲] در پژوهشی در سال ۲۰۱۹ ، با روش افشاره ای فراصلوت لایه‌های نازک FTO را از محلول‌های پیش‌ماده دارای مقادیر متفاوت F تهیه نمودند. آنها مقاومت ویژه $۱/۴۷ \times ۱۰^{-۴}\text{ }\Omega \cdot \text{cm}$ و متوسط عبور $۸۶/۵\%$ را برای مقدار آلاینده F برابر با $۰/۱\text{ at.\%}$ درصد اتمی (at.%) به دست آوردند. در به روزترین پژوهش انجام شده پیرامون مقدار بهینه آلاینده F در لایه‌های نازک FTO، رامیرز-آمدور و همکاران [۱۳] پس از تغییر مقدار آلاینده شاخص شایستگی را محاسبه کردند. آنها شاخص شایستگی هک را برابر با $۰/۱ \times ۱۰^{-۴}\text{ }\Omega \cdot \text{cm}$ را برای غلظت مولی $F/\text{Sn} = ۰/۵$ بدست آوردند.

در این پژوهش از روش گرما کافت افشاره ای برای تهیه لایه‌های نازک FTO استفاده شد و پس از تعیین دیگر عوامل لایه نشانی افشاره ای بر اساس بررسی‌های پیشین [۱۴، ۹]، مقدار بهینه برای آلاینده F به دست آمد. به این منظور، نسبت اتمی $[\text{F}]/[\text{Sn}]$ در محلول پیش‌ماده به ترتیب برابر با $۰/۲۰$ ، $۰/۳۰$ و $۰/۴۰\text{ at.\%}$ در نظر گرفته شد. با استفاده از مشخصه‌های الکتریکی و اپتیکی شاخص شایستگی هک برای هر نمونه لایه

جدول ۱ مقادیر نمک‌های موجود در ml ۱۰ محلول پیش‌ماده استفاده شده در لایه‌نشانی لایه‌های نازک FTO بهمراه نام نمونه‌ها

نام نمونه	SnCl ₂ .2H ₂ O gr	NH ₄ F gr	نسبت اتمی [F]/[Sn] at.%	ضخامت nm
F1	۰.۶۷۷	۰.	.	۳۸۰
F2	۰.۶۵۵	۰.۰۲۲	۲۰	۴۱۰
F3	۰.۶۴۵	۰.۰۳۲	۳۰	۵۱۰
F4	۰.۶۳۵	۰.۰۴۲	۴۰	۴۴۵

(با گروه فضایی P42/mnm) هستند که با کارت استاندارد شماره ۰۴۱-۱۴۴۵ همخوانی دارند [۱۷]. در هر چهار لایه F1 تا F4، صفحه‌های بلوری (۱۱۰) و (۲۱۱) دارای شدت غالب هستند اما شدت بیشتر صفحه‌های بلوری با تغییر مقدار آلاینده F کمی تغییر می‌کند.

با هدف بررسی کمی تغییر شدت قله‌های پراشی ضریب بافت (TC) براساس شدت قله‌های XRD مربوط به صفحه‌های بلوری دارای شاخص‌های میلر (I(hkl))، شدت قله‌ها در کارت استاندارد شماره ۰۴۱-۱۴۴۵ (I₀(hkl)) و با استفاده از رابطه زیر محاسبه شد [۱۸].

$$TC(hkl) = \frac{I(hkl)/I_0(hkl)}{\frac{1}{N} \sum_N I(hkl)/I_0(hkl)} \quad (1)$$

نتایج TC بدست آمده برای چهار صفحه بلوری (۱۱۰)، (۲۰۰)، (۲۱۱) و (۳۰۱) در جدول ۲ ارائه شده‌اند و همچنین تغییرات آن‌ها برای نمونه‌های F1 تا F4 در شکل ۲ الف نمایش داده شده است. چنان که دیده می‌شود، TC(۱۱۰) به تدریج با افزایش مقدار آلاینده F کاهش می‌یابد و به مقدار کمینه خود در نمونه با آلاینده ۳۰ at.% (F3) می‌رسد و سپس دوباره در نمونه F4 کمی افزایش می‌یابد. روند تغییرات TC(۳۰۱) کاملاً برعکس است و بیشینه آن در نمونه F3 رخ می‌دهد.

ثابت‌های شبکه (a) و (c) و حجم یاخته یکه (V) ساختار بلوری چارگوشی برای لایه‌های نازک FTO با استفاده از فاصله میان صفحه‌های بلوری (d) (۱۱۰) و (۱۰۱) و روابط زیر محاسبه گردید [۱۹].

$$\frac{1}{d_{hkl}^2} = \left(\frac{h^2 + k^2}{a^2} \right) + \frac{l^2}{c^2} \quad (2)$$

$$V = a^2 c \quad (3)$$

سرانجام، ml ۱۰ محلول پیش‌ماده تهیه شده با استفاده از نازل شیشه‌ای روی بستر لام شیشه‌ای پاشیده گردید. طی پاشش محلول پیش‌ماده، زیرلایه با توسط سطح داغ در دمای ۵۰۰°C نگه داشته شد. برای گاز حامل از هوای پالاینده و خشک شده با فشار ۰.۹ bar استفاده شد. فاصله نازل تا سطح بستر برابر با ۲۸۷ mm تنظیم شد.

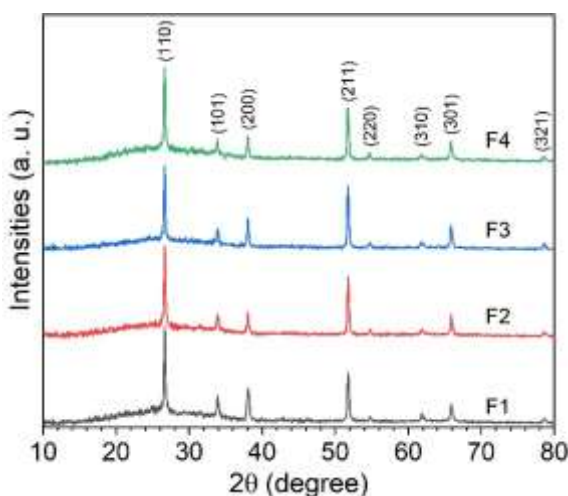
مشخصه یابی

از پراش سنج X'Pert PRO PANalytical (با لامپ Cu Kα با طول موج ۱۵۴۲ Å) برای ثبت الگوی پراش پرتوی X (XRD) لایه‌های نازک FTO بدست آمده در گستره زاویه‌ای ۱۰ تا ۸۰° و گام‌های ۰.۰۲۶° استفاده شد. ریختار و ضخامت لایه‌های FTO رشدیافتہ با مقادیر متفاوت F، توسط تصاویر تهیه شده با میکروسکوپ الکترونی روبشی گسیل میدانی (FESEM) مدل MIRA3-TESCAN-XMU (FESEM) بررسی گردید. برای اندازه‌گیری ویژگی‌های الکتریکی شامل مقاومت ویژه، تحرک و چگالی حامل‌های بار، قطعه‌های ۵×۵ mm از لایه‌های نازک FTO با پیکربندی تماس‌های همسطح ون در پاوه، در دستگاه اثر هال (PhyTech) قرار داده شدند. مقدار عبور و بازتاب آینه‌وار لایه‌های نازک FTO در گستره طول ۹۰۰-۲۰۰ nm با طیفسنج نوری Perkin-Elmer Lambda 25 اندازه‌گیری شد.

نتایج و بحث

ویژگی‌های ساختاری

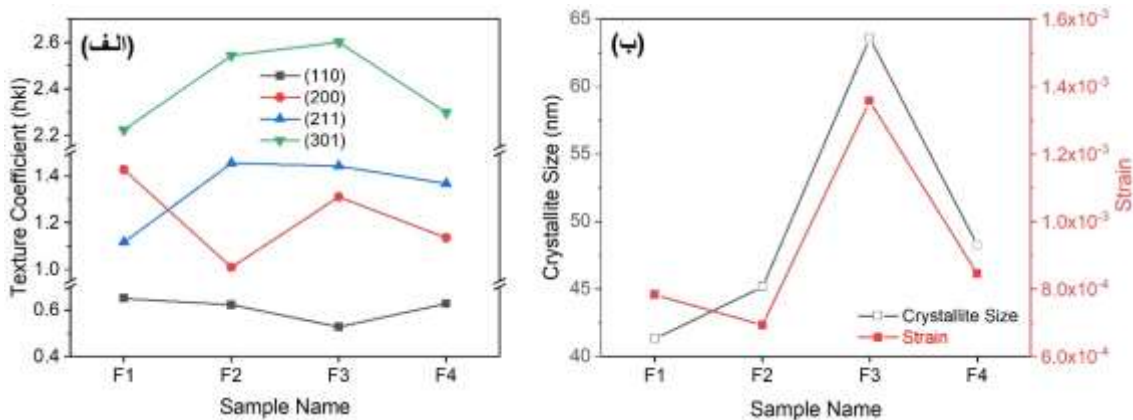
الگوهای XRD لایه‌های نازک FTO تهیه شده به روش گرما کافت افشاره‌ای با مقادیر آلاینده متفاوت در شکل ۱ نشان داده شده‌اند. هشت قله مشخص در این الگو به ترتیب مربوط به صفحه‌های بلوری (۱۱۰)، (۱۰۱)، (۲۰۰)، (۲۱۱)، (۲۲۰)، (۳۰۱) و (۳۲۱) از ساختار بسبلوری چارگوشی SnO₂



شکل ۱ الگوهای XRD لایه‌های نازک FTO با مقادیر متفاوت آلینده F تهیه شده به روش گرما کافت افشاگری

جدول ۲ ویژگی‌های ساختاری و مقادیر گاف انرژی محاسبه شده برای لایه‌های نازک FTO با مقادیر متفاوت فلورور

نام نمونه	ضریب بافت	(۳۰۱)	(۲۱۱)	(۲۰۰)	(۱۱۰)	a (Å)	c (Å)	$V(\text{\AA}^3)$	اندازه بلورک	کرنش	گاف انرژی
F1	۰.۶۵۰	۱.۱۱۶	۱.۴۲۸	۱.۴۲۸	۰.۶۵۰	۴.۷۲۸	۲.۱۸۸	۷۱.۲۷	۴۱	۷.۸۳	۳.۶۸
F2	۰.۵۲۸	۱.۴۴۴	۱.۳۱۱	۱.۳۱۱	۰.۵۲۸	۴.۷۲۰	۲.۱۸۸	۷۱.۳۳	۴۵	۶.۹۴	۳.۷۳
F3	۰.۶۲۳	۱.۴۵۶	۱.۰۰۹	۱.۰۰۹	۰.۶۲۳	۲.۵۴۳	۲.۱۸۸	۷۱.۳۸	۶۴	۱۳.۵۸	۳.۷۷
F4	۰.۶۲۸	۱.۳۶۹	۱.۱۳۶	۱.۱۳۶	۰.۶۲۸	۲.۲۹۹	۲.۱۹۱	۷۱.۴۶	۴۸	۸.۴۶	۳.۸۸



شکل ۲ تغییرات (الف) ضریب بافت مربوط به صفحه‌های بلوری (۱۰۰)، (۲۰۰)، (۳۰۱) و (۲۱۱) و (ب) اندازه بلورک و کرنش لایه‌های نازک FTO رشدیافته با مقادیر متفاوت آلینده F

دلیل این تغییرات ناچیز را می‌توان به نزدیک بودن شعاع یونی O^{2-} (1.40 \AA) و F^{-} (1.36 \AA) نسبت داد [۱۴]. گفتنی است که به دلیل تشابه شعاع یونی و همچنین مقدار نزدیکی انرژی-

مقادیر ثابت‌های شبکه بلوری برای لایه‌های F1 تا F4 در جدول ۲ آورده شده‌اند. هر سه ثابت شبکه با افزایش آلینده F در ساختار شبکه SnO_2 به مقدار بسیار ناچیزی افزایش یافته.

آلاینده F و کاهش دوباره آن در مقادیر بالای در بسیاری از بررسی‌ها گزارش شده است [۲۳، ۲۲، ۱۲]. روند به نسبت مشابهی برای کرنش وجود دارد. کمترین مقدار کرنش برای لایه نازک F2 برابر با 6.94×10^{-4} و بیشترین آن برای نمونه F3 برابر با 1.36×10^{-3} است.

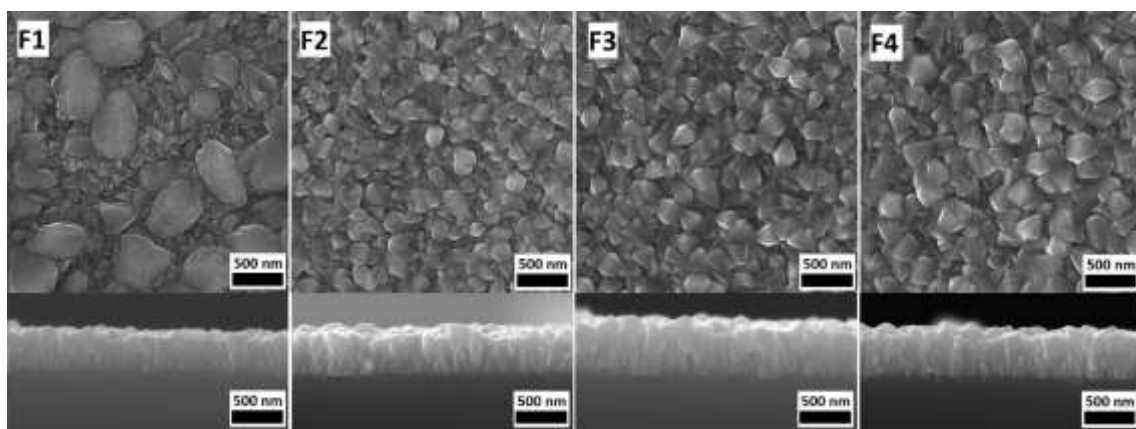
ویژگی‌های ریخت‌شناسی

تصاویر FESEM تهیه شده از مقطع عرضی و ریختار سطح لایه‌های نازک OTO با مقادیر ۰، ۳۰، ۲۰ و ۴۰ at.% از آلاینده F1 لایه نشانی شده به روش گرما کافت افسانه‌ای (نمونه‌های F4) در شکل ۳ آورده شده‌اند. به طورکلی هر چهار نمونه دارای ریختار سطح منسجم و فشرده و بدون هرگونه شکاف یا نقص هستند. دانه‌های با مرز مشخص نیز در سطح هر چهار نمونه دیده می‌شوند. البته شکل و اندازه دانه‌ها در نمونه F1 آشکارا متفاوت است. در سطح لایه نازک F1 دو گروه از دانه‌ها، شامل دانه‌های جزیره شکل با اندازه بزرگتر و دانه‌هایی با شکل برگ با اندازه کوچکتر، رشد کرده است. با ورود آلاینده F، سطح لایه در نمونه F2، به طورکلی تغییر کرده است و دانه‌هایی با شکل و توزیع اندازه به نسبت یکسان رشد یافته‌اند. شکل دانه‌ها نیز پس از آلاینده F به صورت چاروجه‌های هرمی است. البته در این نمونه همچنان در نواحی محدودی دانه‌های کوچک برگ شکل دیده می‌شود. ریختار سطح نمونه‌های F3 و F4 نیز شبیه F1 است، اما متوسط اندازه دانه‌ها به صورت پیوسته با افزایش مقدار آلاینده F افزایش یافته و توزیع اندازه آن‌ها نیز یکنواخت‌تر شده است.

های پیوندی Sn-O و Sn-F، جایگزینی O با F محتمل‌ترین حالت ورود آلاینده F به ساختار SnO_2 شناخته می‌شود [۲۰]. از جمله دیگر کمیت‌های ساختاری که اثر غیر قابل انکاری بر ویژگی‌های فیزیکی بلور دارد، اندازه بلورک (D) و همچنین کرنش به‌جامانده (E) در شبکه بلوری است. هر دوی این کمیت‌ها باعث پهن‌شدن قله‌های الگوی XRD می‌شوند. روش مرسوم برای محاسبه این مقادیر روش ویلیامسون-هال است که براساس پهن‌شدن قله‌های پراشی و با برآش خطی منحنی بدست آمده، اندازه بلورک (D) و کرنش به‌جامانده (E) در شبکه بلوری برآورد می‌شود.

$$\beta_{hkl} \cos \theta = \frac{K\lambda}{D} + 4\varepsilon \sin \theta \quad (4)$$

در این رابطه، ثابت K برابر با 0.9 ، λ طول موج پرتوی x (۱.۵۴۲ Å)، θ زاویه برآگ مربوط به صفحه بلوری (hkl) و β_{hkl} پهنا در نصف شدت بیشینه قله‌های الگوی XRD است [۲۱]. مقادیر اندازه بلورک و کرنش برآورده شده بر این اساس، برای لایه‌های نازک OTO با مقادیر متفاوت آلاینده F در جدول ۲ آرائه شده و همچنین تغییرات آن‌ها در شکل ۲ ب نشان داده شده است. چنان که دیده می‌شود، اندازه بلورک از ۴۵ nm برای لایه نازک خالص SnO_2 به مقدار ۴۱ nm برای لایه نازک F با ۲۰٪ آلاینده F افزایش می‌یابد. با افزایش بیشتر آلاینده، جهشی قابل توجه در اندازه بلورک برای نمونه F3 (۶۴ nm) رخ داده و سرانجام برای نمونه با بیشترین آلاینده (F4) به مقدار ۴۸ nm کاهش می‌یابد. رفتار مشابهی برای افزایش اندازه بلورک در لایه‌های نازک FTO پس از ورود



شکل ۳ تصاویر FESEM از سطح و مقطع عرضی نمونه‌های لایه نازک F1، F2، F3 و F4

بی دارد. اگرچه روند افزایش حجم یاخته یکه در لایه نازک با 40 at.\% آلائینde F همچنان ادامه دارد، کاهش اندازه بلورک، افزایش دوباره شدت قله (110°) و همچنین فاصله گرفتن از شرایط بهینه لایه‌نشانی به دلیل افزایش مقدار آلائینde، می‌تواند از جمله دلایل کاهش ضخامت در لایه F4 باشد.

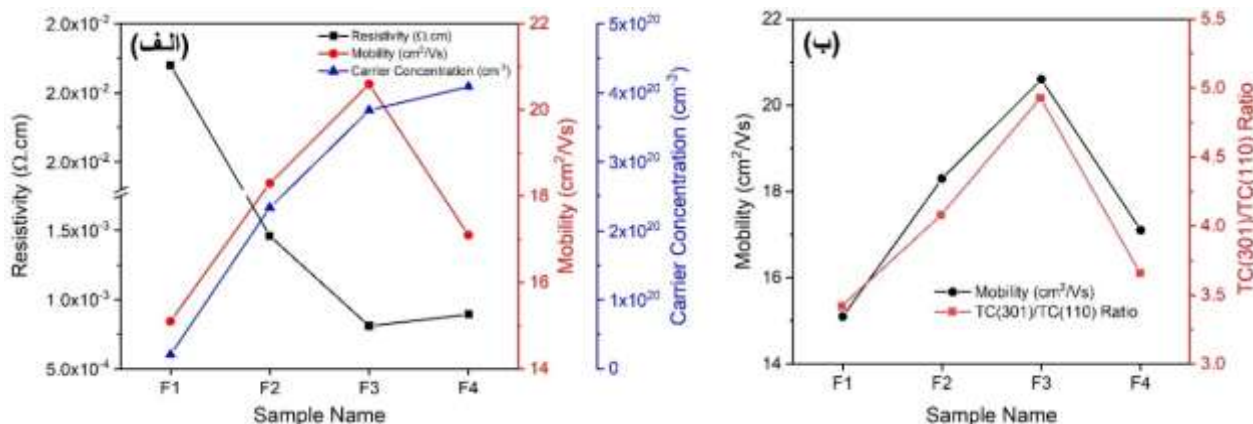
ویژگی‌های الکتریکی

نمودار تغییرات ویژگی‌های الکتریکی شامل مقاومت ویژه، تحرک و غلظت حامل‌های بار آزاد برای لایه‌های FTO با مقادیر متفاوت آلائینde F در شکل ۴ الف نشان داده شده و مقادیر آن‌ها در جدول ۳ آورده شده است. چنان‌که دیده می‌شود، پس از ورود آلائینde F، مقدار مقاومت ویژه لایه نازک F2 پس از $14.6 \times 10^{-4} \Omega\text{-cm}$ به مقدار قابل توجهی در مقایسه با نمونه F1 (لایه نازک خالص SnO_2 با $1.0 \Omega\text{-cm}$) کاهش می‌یابد. روند کاهش مقاومت ویژه با افزایش آلایش F3 تا نمونه F4 (آدامه یافته و در پایان برای نمونه F4) رشد یافته باشد که خود افزایش ضخامت را در

شکل ۳ همچنین به خوبی تغییرات ضخامت لایه‌های نازک FTO تهیه شده را نشان می‌دهد. چنان‌که در جدول ۱ نیز گزارش شده است، ضخامت آنها از 380 nm برای لایه نازک SnO_2 خالص به تدریج افزایش می‌یابد تا به بیشینه مقدار خود در لایه F3 (510 nm) می‌رسد و دوباره در لایه F4 (445 nm) با کمی کاهش همراه است. در پژوهش کوروتکوف و همکاران [۲۴] پیرامون اثر جهت‌گیری‌های غالب بلوری در لایه‌های نازک SnO_2 رابطه‌ای معکوس میان مقدار $TC(110)$ و ضخامت لایه گزارش شد. در پژوهش ما نیز وضعیت مشابهی دیده می‌شود. راستای بلوری (110°) به عنوان فشرده‌ترین صفحه بلوری در ساختار SnO_2 شناخته می‌شود. این امر می‌تواند به خوبی افزایش ضخامت دریی کاهش ضربی بافت این صفحه را توضیح دهد. از سویی به نظر می‌رسد که افزایش اندازه بلورک و همچنین افزایش کم حجم یاخته یکه پس از آلایش F تا نمونه F3 نیز می‌تواند در نتیجه تغییر در بافت لایه‌های نازک رشد یافته باشد که خود افزایش ضخامت را در

جدول ۳ مقادیر تحرک، غلظت حامل بار، مقاومت سطحی و ویژه، متوسط عبور و شاخص شایستگی بدست آمده برای لایه‌های نازک FTO

نام نمونه	تحرک	غلظت حامل بار	مقاومت سطحی	مقاومت ویژه	متوجه عبور	شاخص شایستگی	$\Phi (\times 10^{-3} \Omega^{-1})$
F1	15.1	0.205	532	2.02	81.37	0.229	0.229
F2	18.3	2.34	36	14.6	86.17	6.34	6.34
F3	20.6	3.75	16	8.09	87.47	16.5	16.5
F4	17.1	4.09	20	8.93	88.57	14.8	14.8



شکل ۴ تغییرات (الف) ویژگی‌های الکتریکی شامل تحرک، غلظت حامل بار و مقاومت ویژه (ب) تحرک و نسبت $(TC(301)/TC(110))$ برای نمونه‌های F1، F2، F3 و F4

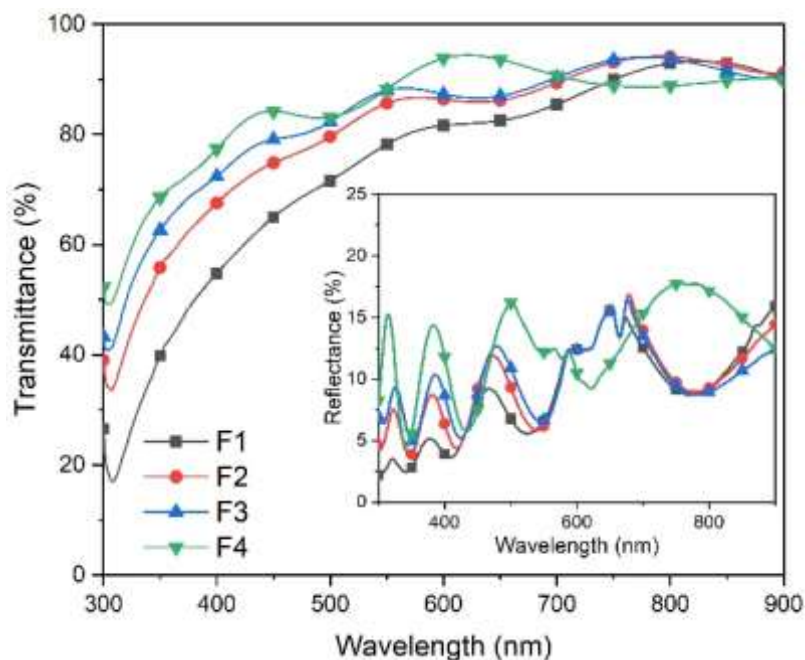
مشخص شده است که برای غلظت حامل‌های بار آزاد بیشتر از 10^{18} cm^{-3} و دمای بالاتر از K ۱۰۰، سازوکار غالب برای پراکندگی نوسان شبکه بلوری است. این امر همخوانی خوبی با نتایج بدست آمده در این پژوهش دارد. چنان که در شکل ۴-ب دیده می‌شود، روند تغییرات حرک و نسبت $\text{TC}(301)/\text{TC}(110)$ کاملاً بر هم منطبق هستند. چنان که پیشین تر اشاره شد، کوروتوکوف و همکاران از محلول‌های پیش‌ماده متفاوت برای رشد لایه‌های نازک SnO_2 با جهت-گیری‌های بلوری غالب متفاوت استفاده کردند. یافته‌های آن‌ها نشان داد که بیشترین حرک حامل بار در لایه نازک با راستای بلوری غالب (۳۰۱) رخ می‌دهد [۲۴]. افزون بر این، بیشترین فشردگی در ساختار بلوری SnO_2 برای راستای بلوری (۱۱۰) گزارش شده است [۲۹، ۲۶]. بر این اساس، کاهش مقدار $\text{TC}(110)$ همزمان با افزایش مقدار $\text{TC}(301)$ در راستای کاهش پراکندگی حامل‌های بار به دلیل نوسان شبکه بلوری است. بر اثر همزمان دو کمیت غلظت حامل‌های بار آزاد و حرک آن‌ها منجر به دستیابی به کمینه مقاومت ویژه در لایه نازک FTO با $\% \text{ at.} / 30$ آلاینده F شده است.

ویژگی‌های اپتیکی

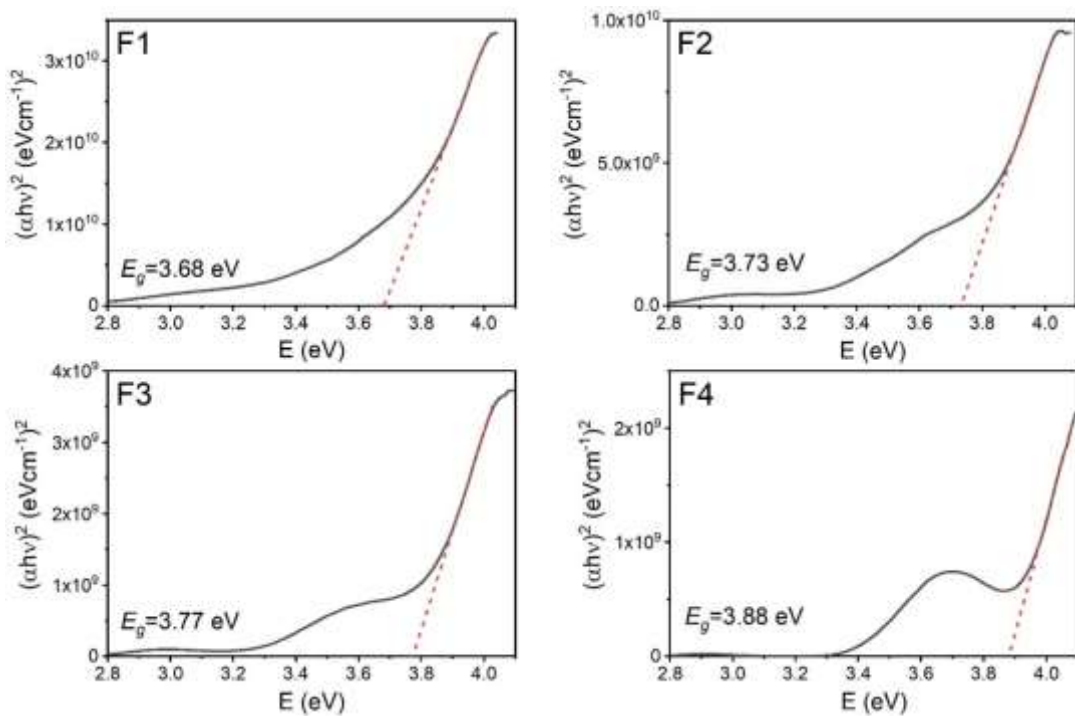
مقادیر عور و بازتاب آینهوار لایه‌های نازک FTO با مقادیر متفاوت آلاینده F، در گستره طول موجی nm ۹۰۰-۳۰۰ در شکل ۵ نشان داده است. دیده می‌شود که مقدار عبور به صورت پیوسته با افزایش آلایش F بویژه در طول موج‌های پایین‌تر، افزایش می‌یابد. این امر با وجود افزایش تدریجی ضخامت لایه از نمونه F1 تا F3 رخ می‌دهد. به نظر می‌رسد که افزایش کم در طول موج‌های بالاتر به دلیل حضور F در ساختار و جایگزینی O^2- با F^- در لایه‌های نازک FTO باشد. اما عامل مشهود در بهبود مقدار عبور، جایه‌جایی لبه جذب لایه‌های نازک FTO با افزایش آلایش F به سمت طول موج‌های پایین‌تر است. جایه‌جایی لبه جذب در نتیجه تغییر در گاف انرژی اتفاق رخ می‌دهد. از این رو مقدار گاف انرژی (E_g) لایه‌های نازک F4 با استفاده از مقادیر بدست آمده برای عبور (I)، بازتاب آینهوار (R) و ضخامت (t) برآورد شد. با استفاده از این مقادیر می‌توان نخست ضریب جذب (a) را محاسبه کرد. سپس با برونویایی بخش خطی نمودار $(ahv)^2$ بر حسب $h\nu$ (انرژی پرتونی فرودی) تا مقدار صفر روی محور انرژی، مقادیر گاف انرژی به دست می‌آید [۳۱، ۳۲]. (شکل ۶).

به طور کلی تغییر مقاومت ویژه ناشی از تغییر غلظت حامل‌های بار آزاد و حرک آن‌ها در ساختار لایه‌های نازک است [۲۵]. غلظت حامل‌های بار آزاد در مواد نیمرسانای نوع ۵ بیشتر برآمده از تهیجای اکسیژن در ساختار و یا در نتیجه ورود آلاینده مناسب به ساختار بلوری این مواد است [۲۶]. بر این اساس، در لایه نازک خالص SnO_2 بیشتر حامل‌های بار آزاد (با غلظت 10^{19} cm^{-3}) باید ناشی از نقص تهیجای اکسیژن باشند. چنان که انتظار می‌رود، افزودن نمک F به محلول پیش‌ماده و در نتیجه آن جایگزینی اکسیژن در شبکه بلوری SnO_2 باعث افزایش چشمگیر غلظت حامل‌های بار آزاد می‌شود. پیشتر اشاره شد که به دلیل نزدیکی بودن پیوندی O²⁻ و Sn-O²⁻ همچنین نزدیکی انرژی‌های پیوندی O²⁻ با Sn-F، این جایگزینی بسیار محتمل است. هر جایگزینی O²⁻ با F⁻ باعث بوجود آمدن یک الکترون آزاد می‌شود. افزایش چشمگیر غلظت حامل بار در نمونه F2 با کمترین مقدار آلاینده F (10^{20} cm^{-3}) نیز دیده می‌شود. افزایش غلظت حامل‌های بار آزاد به طور پیوسته با افزایش آلاینده F در نمونه‌های F3 و F4 نیز ادامه یافته است. البته چنان که در نمودار تغییرات غلظت حامل بار در شکل ۴ الف دیده می‌شود، شبی این افزایش در نمونه F4 کاهش می‌یابد.

بر اساس نتایج بدست آمده، عامل تعیین کننده در کمینه بودن مقاومت ویژه نمونه F3، بیشینه بودن تحرک حامل بار در این لایه نازک است. تحرک نیز مانند غلظت حامل بار با آلاینده F افزایش می‌یابد اما در نمونه F3 به مقدار بیشینه $1 \text{ cm}^2 \cdot \text{V}^{-1} \text{s}^{-1}$ (۲۰/۶) می‌رسد و سپس کاهش می‌یابد. کاهش قابل توجه تحرک در نمونه F4 بر افزایش غلظت حامل بار در این نمونه غلبه کرده و در نتیجه آن شاهد کاهش مقاومت ویژه در مقایسه با نمونه F3 هستیم. پراکندگی حامل‌های بار آزاد در شکه بازی با نمونه F3 محدود کننده تحرک است [۲۷]. حامل‌های بار آزاد بلوری عامل محدود کننده تحرک ممکن است از مرزهای میان بلورک‌ها دچار پراکندگی شوند. دلیل این پراکندگی وجود پیوندهای آویزان و در نتیجه سد پتانسیل شکل گرفته در مرز دانه‌است. بررسی‌ها نشان داده است که در نیمرساناهای آلاییده به دلیل بی‌نظمی بوجود آمده در ساختار، مسافت آزاد میانگین حامل‌های بار آزاد از چند نانومتر تجاوز نمی‌کند. از سویی با در نظر گرفتن اندازه بزرگ بلورک‌ها لایه‌های نازک FTO (۶۴-۴۱ nm) در این پژوهش، پراکندگی از مرز بلورک‌ها نمی‌تواند عامل اصلی محدود کننده تحرک باشد. در پژوهش ژانگ و همکاران [۲۸] پیرامون سازوکارهای پراکندگی در لایه‌های نازک اکسید رسانای شفاف



شکل ۵ مقادیر تجربی عبور و بازتاب اپتیکی لایه‌های نازک FTO تهیه شده به روش گرما کافت افشارهای.



شکل ۶ نمودار $(\alpha h\nu)^2$ بر حسب $h\nu$ برای برآورد گاف انرژی لایه‌های نازک FTO رشدیافته به روش گرما کافت افشارهای ای.

مقدار آلاینده (F) افزایش یافته است. در لایه‌های رسانای شفاف که رسانندگی آن‌ها به دلیل آلاینده بهبود یافته است، سطح فرمی با افزایش مقدار آلایش به سمت مقادیر بالاتر جابه‌جا می‌شود [۳۳]. این امر باعث جایه‌جایی لبه جذب به سمت طول

مقدادیر بدست آمده برای گاف انرژی نمونه‌های F1 تا F4 در جدول ۲ آورده شده است. چنان که انتظار می‌رفت، گاف انرژی از مقدار ۳۶۸ eV برای نمونه F1 (نمونه خالص SnO_2) به صورت پیوسته تا مقدار ۳۸۸ eV برای نمونه F4 (با بیشترین

به روش افشارهای در جدول ۳ آورده شده است. مقادیر آشکارا نشان می‌دهند که تفاوت چشمگیری میان شاخص شایستگی لایه نازک خالص SnO_2 ($2,39 \times 4-10 \Omega^{-1}$) و لایه‌های نازک با آلاینده F وجود دارد. با ورود F در نمونه F2، شاخص شایستگی بیش از بیست برابر می‌شود ($6,34 \times 3-10 \Omega^{-1}$). بیشینه مقدار شاخص شایستگی مربوط به نمونه F3 ($1,65 \times 2-10 \Omega^{-1}$) و در نتیجه بهبود همzمان هر دو کمیت عبور و مقاومت سطحی این لایه پس از آلایش F است. اگرچه متوسط عبور در نمونه F4 کمی از نمونه F3 بیشتر است، فاصله قابل توجه مقاومت سطحی در نمونه F3 باعث پیشی گرفتن آن شده است.

شاخص شایستگی بدست آمده در این پژوهش برای نمونه F3 در مقایسه با بهترین نتایج بدست آمده برای لایه‌های نازک FTO تهیه شده به روش افشارهای ای، قابل توجه است. به منظور مقایسه، در جدول ۴ نتایج برخی از بهترین لایه‌های نازک FTO تهیه شده به روش افشارهای ای با مقادیر شاخص شایستگی قابل توجه گردآوری شده است [۱۳، ۳۵-۳۸]. از آنجا که در برخی از این بررسی‌ها از بیشینه عبور نقطه‌ای در محاسبه شاخص شایستگی استفاده شده است، شاخص شایستگی F3 با در نظر گرفتن بیشینه عبور نقطه‌ای نیز محاسبه و در جدول ۴ گزارش شده است.

موج‌های کوچکتر و در نتیجه افزایش گاف انرژی می‌شود. به این پدیده جایه‌جایی بورستین-موس می‌گویند [۶]. روند مشابه در افزایش پیوسته گاف انرژی و غلظت حامل‌های بار آزاد گویای اثر این پدیده بر مقدار گاف انرژی لایه نازک FTO تهیه شده به روش افشارهای در این پژوهش است. سرانجام دیده شد که با افزایش آلاینده از نمونه F1 تا نمونه F4، متوسط عبور در گستره طول موجی ۹۰۰-۴۰۰ nm به ترتیب از ۸۱,۳۷٪ تا ۸۸,۵۷٪ افزایش یافته است (جدول ۳).

شاخص شایستگی

با هدف کمی‌سازی اثر هر یک از عوامل رسانندگی و عبور در لایه‌های نازک رسانای شفاف، شاخص شایستگی با رویکردهای متفاوتی استفاده شد. مقادیر بالای شاخص شایستگی در مرحله اول نشان‌دهنده رسانندگی و شفافیت بالا در لایه نازک رسانای شفاف است و در مرحله بعد نشان می‌دهد که این دو کمیت در ارتباط با هم در حالت بهینه قرار دارند. یکی از مرسوم‌ترین روابط برای محاسبه شاخص شایستگی که با تاکید بر میزان شفافیت طراحی شده، شاخص شایستگی هک، $\Phi = T_{10}/RSh$ ، است. در این رابطه، RSh مقاومت سطحی و T مقدار عبور لایه نازک مورد نظر است [۳۴]. در این بررسی، T به صورت متوسط عبور در گستره طول موجی ۹۰۰-۴۰۰ nm در نظر گرفته شده است و به همراه مقاومت سطحی و شاخص شایستگی هک محاسبه شده برای چهار لایه FTO تهیه شده

جدول ۴ مقایسه مقدار رسانندگی و عبور نمونه F3 با بهترین نتایج بدست آمده برای لایه‌های نازک FTO تولید شده به روش افشارهای.

مرجع	شاخص شایستگی $\Phi (\times 10^{-3} \Omega^{-1})$	عبور T (%)	مقاومت سطحی $\rho (\Omega \cdot \text{cm})$	مقادیر ویژه $R_{Sh} (\Omega/\text{sq})$
این پژوهش	۱۶,۵	۸۷,۴۷ (۹۰۰-۴۰۰ nm)	$8,09 \times 10^{-10}$	۱۶
این پژوهش	۳۴,۰۶	۹۴,۰۳ (بیشینه عبور)	$8,09 \times 10^{-10}$	۱۶
[۱۳]	۳۴,۵	۸۲ (بیشینه عبور)	$1,90 \times 10^{-10}$	۴,۵
[۳۵]	۲۰,۲۹	۸۳,۷۸ (۵۵۰ nm)	-	۸,۴
[۳۶]	۱۳,۱	۸۷ (۵۵۰ nm)	$0,74 \times 10^{-10}$	۱۸,۹
[۳۷]	۲,۶	۷۹	$8,9 \times 10^{-10}$	-
[۳۸]	۵,۹	۷۴ (۵۵۰ nm)	$10,0 \times 10^{-10}$	۸,۴

برداشت

- to silicon wafer solar cells", Thin Solid Films 555 (2014) 28-32.*
<https://doi.org/10.1016/j.tsf.2013.08.109>
- [2] Asl, H.Z., Rozati, S.M., "Some physical properties of n-IZO/p-CuO thin film heterojunction diodes completely made by spray pyrolysis", Journal of Materials Science: Materials in Electronics 29 (2018) 4365-4372.
<https://doi.org/10.1007/s10854-017-8385-1>
- [3] Belaidi, A., Chaqour, S.M., Gorochov, O., Neumann-Spallart, M., "Photoelectrochemical and physical properties of titanium dioxide films obtained by aerosol pyrolysis", Materials Research Bulletin 39 (2004) 599-608.
<https://doi.org/10.1016/j.materresbull.2003.12.012>
- [4] Chu, J., Li, X., Cheng, Y., Xiong, S., "Electrochromic properties of Prussian Blue nanocube film directly grown on FTO substrates by hydrothermal method", Materials Letters 258 (2020) 126782.
<https://doi.org/10.1016/j.matlet.2019.126782>
- [5] Pakniyat, S., Motevalizadeh, L., Jami, S., "The effect of Ga-doping on the structural and optical properties of ZnO thin films prepared by spray pyrolysis (in Persian)", Iranian Journal of Crystallography and Mineralogy 27 (2019) 747-752. <https://doi.org/10.29252/ijcm.27.3.747>
- [6] Malekiyan, M., Fadavieslam, M., Ardyanian, m., "Investigation of the structural, optical and gas sensing properties of Aluminum doped zinc -oxide nanoparticles synthesized by solvo-thermal method", Iranian Journal of Crystallography and Mineralogy 27 (2019) 975-984.
<https://doi.org/10.29252/ijcm.27.4.975>
- [7] Asl, H.Z., Rozati, S.M., "High-Performance Spray-Deposited Indium Doped ZnO Thin Film: Structural, Morphological, Electrical, Optical, and Photoluminescence Study", Journal of Electronic Materials 47 (2018) 3568-3576.
<https://doi.org/10.1007/s11664-018-6201-1>
- [8] Hinna, M., Hartiti, B., Gouya, A., Labrim, H., Fadili, S., Tahri, M., Belfhailli, A., Siadat, M., Thévenin, P., "Synthesis of ITO thin films by Spray pyrolysis based on Taguchi design", Materials Today: Proceedings 66 (2022) 447-455.
<https://doi.org/10.1016/j.matpr.2022.06.323>
- [9] Asl, H.Z., Rozati, S.M., "Influence of texture coefficient on the electrical properties of spray-deposited fluorine-doped tin oxide thin film",

روش گرما کافت افشارهای برای رشد لایه‌های نازک FTO با شاخص شایستگی بالا استفاده شد. مقدار آلاینده F در لایه‌های F2، F1 و ۴۰ at.% (نمونه‌های F3 و F4) انتخاب شد. در نتیجه تغییر در مقدار آلاینده F، اندازه بلورک و کرنش به جامانده در ساختار بلوری لایه‌های FTO، نخست افزایش یافت و در نمونه F3 به بیشترین مقدار خود رسید، سپس در نمونه F4 کمی کاهش دیده شد. مقادیر ضریب بافت برای لایه‌های FTO تهیه شده محاسبه گردید. دیده شد که رابطه مستقیم میان تغییرات بوجود آمده در بافت لایه‌های نازک FTO و تحرک حامل‌های بار در آن‌ها وجود دارد. این امر غلبه اثر پراکندگی حامل‌های بار به دلیل نوسان‌های شبکه بلوری را در لایه‌های FTO نشان می‌دهد. با افزایش مقدار آلاینده F، مقدار عبور اپتیکی به صورت پیوسته تا حدی افزایش یافت. جابه‌جایی لبه جذب و در نتیجه افزایش گاف انرژی در اثر پدیده جابه‌جایی بورستین-موس، دلیل عدمه افزایش عبور بود. افزایش پیوسته غلظت حامل‌های بار در پی افزایش آلایش F و بیشنه بودن تحرک در نمونه F3، منجر به دستیابی به مقاومت ویره $8.0 \times 10^{-4} \Omega \cdot \text{cm}$ گردید. با در نظر گرفتن متوسط عبور قابل توجه ۸۷٪ در گستره طول موجی ۹۰۰-۴۰۰ nm، شاخص شایستگی F3 بدست آمد. این مقدار قابل مقایسه با بهترین مقادیر نمونه FTO است. با توجه به مزایای روش لایه‌نمانی گرما کافت افشارهای ای شامل مقولون به صرفه بودن و امکان استفاده در تولید انبوه، لایه‌های FTO تولید شده می‌توانند گزینه مناسبی برای استفاده در دستگاه‌های بر پایه TCO باشند.

قدرتانی

نویسنده‌گان از حمایت مالی دانشگاه صنعتی خاتم الانبیاء بهبهان (قرارداد پژوهانه شماره ۳/۶۹۳۲) قدردانی می‌نمایند.

مراجع

- [1] Djessas, K., Bouchama, I., Gauffier, J.L., Ayadi, Z.B., "Effects of indium concentration on the properties of In-doped ZnO films: Applications

- [17] Gaber, A., Attia, S.Y., Salem, A.M.S., Mohamed, S.G., El-Hout, S.I., "Microwave-assisted fabrication of SnO₂ nanostructures as electrode for high-performance pseudocapacitors", Journal of Energy Storage 59 (2023) 106358. <https://doi.org/10.1016/j.est.2022.106358>
- [18] Asl, H.Z., Rozati, S.M., "Photoluminescence and Optical Properties of CuO Thin Films Deposited via Spray Pyrolysis: Influence of Substrate Temperature", JTAP 18 (2024) 182421-182432. <https://doi.org/10.57647/j.jtap.2024.1802.21>
- [19] Padmaja, B., Dhanapandian, S., Ashokkumar, K., Krishnakumar, N., "Cobalt ions doped SnO₂ nanoparticles for enhanced photocatalytic and supercapacitor applications", Inorganic Chemistry Communications 155 (2023) 110948. <https://doi.org/10.1016/j.inoche.2023.110948>
- [20] Zhang, B., Tian, Y., Zhang, J.X., Cai, W., "The role of oxygen vacancy in fluorine-doped SnO₂ films", Physica B: Condensed Matter 406 (2011) 1822-1826. <https://doi.org/10.1016/j.physb.2011.02.037>
- [21] Rozati, S.M., Seyed Hashemi, S.A., "Fabrication and characterization of physical and electrochemical properties of ZnO/ZnS and ZnO/ZnS/ZnO nanostructured composite thin films", Iranian Journal of Crystallography and Mineralogy 31 (2023) 795-810. <https://doi.org/10.61186/ijcm.31.4.795>
- [22] Benhaoua, B., Abbas, S., Rahal, A., Benhaoua, A., Aida, M.S., "Effect of film thickness on the structural, optical and electrical properties of SnO₂: F thin films prepared by spray ultrasonic for solar cells applications", Superlattices and Microstructures 83 (2015) 78-88. <https://doi.org/10.1016/j.spmi.2015.03.017>
- [23] Moholkar, A.V., Pawar, S.M., Rajpure, K.Y., Bhosale, C.H., Kim, J.H., "Effect of fluorine doping on highly transparent conductive spray deposited nanocrystalline tin oxide thin films", Applied Surface Science 255 (2009) 9358-9364. <https://doi.org/10.1016/j.apsusc.2009.07.035>
- [24] Korotkov, R.Y., Ricou, P., Farran, A.J.E., "Preferred orientations in polycrystalline SnO₂ films grown by atmospheric pressure chemical vapor deposition", Thin Solid Films 502 (2006) 79-87. <https://doi.org/10.1016/j.tsf.2005.07.248>
- Journal of Materials Science: Materials in Electronics 32 (2021) 1668-1676. <https://doi.org/10.1007/s10854-020-04936-w>
- [10] Gordon, R.G., "Criteria for Choosing Transparent Conductors", MRS Bulletin 25 (2000) 52-57. <https://doi.org/10.1557/mrs2000.151>
- [11] Benhaoua, A., Rahal, A., Benhaoua, B., Jlassi, M., "Effect of fluorine doping on the structural, optical and electrical properties of SnO₂ thin films prepared by spray ultrasonic", Superlattices and Microstructures 70 (2014) 61-69. <https://doi.org/10.1016/j.spmi.2014.02.005>
- [12] Tuyen, L.T.C., Jian, S.-R., Tien, N.T., Le, P.H., "Nanomechanical and Material Properties of Fluorine-Doped Tin Oxide Thin Films Prepared by Ultrasonic Spray Pyrolysis: Effects of F-Doping", Materials 12 (2019) 1665. <https://doi.org/10.3390/ma12101665>
- [13] Ramírez-Amador, R., Alvarado-Pulido, J.J., Martínez-Hernández, H.P., Cortes- Maldonado, R., Alcántara-Iniesta, S., Flores-Carrasco, G., Ojeda-Durán, E., Malik, O., Morales-de la Garza, L., Méndez-Rojas, M.Á., Panecatl-Bernal, Y., Luna-López, J.A., López-Salazar, P., "Study of fluorine-doped tin oxide thin films deposited by pneumatic spray pyrolysis and ultrasonic spray pyrolysis: a direct comparison", Materials Research Express 10 (2023) 066402. <https://doi.org/10.1088/2053-1591/acda1a>
- [14] Asl, H.Z., Rozati, S.M., "High-quality spray-deposited fluorine-doped tin oxide: effect of film thickness on structural, morphological, electrical, and optical properties", Applied Physics A 125 (2019) 689. <https://doi.org/10.1007/s00339-019-2943-8>
- [15] Abdelkrim, A., Rahmane, S., Abdelouahab, O., Abdelmalek, N., Brahim, G., "Effect of solution concentration on the structural, optical and electrical properties of SnO₂ thin films prepared by spray pyrolysis", Optik - International Journal for Light and Electron Optics 127 (2016) 2653-2658. <https://doi.org/10.1016/j.ijleo.2015.11.232>
- [16] Smith, A., Laurent, J.-M., Smith, D.S., Bonnet, J.-P., Clemente, R.R., "Relation between solution chemistry and morphology of SnO₂-based thin films deposited by a pyrosol process", Thin Solid Films 266 (1995) 20-30. [https://doi.org/https://doi.org/10.1016/0040-6090\(95\)06648-9](https://doi.org/https://doi.org/10.1016/0040-6090(95)06648-9)

- [32] Tajabor, N., Alinejad, M.R., Iranmanesh, P., "Preparation of $SrTiO_3$ thin films by spray pyrolysis technique and study of their structural and optical properties (in Persian)", Iranian Journal of Crystallography and Mineralogy 16 (2008) 225-232.
- [33] Mahmoudi, T., Masoudi, M., "An experimental and theoretical study on the physical properties of Al doped ZnO thin films (in Persian)", Iranian Journal of Crystallography and Mineralogy 27 (2019) 487-494. <https://doi.org/10.29252/ijcm.27.2.487>
- [34] Shinde, S.S., Shinde, P.S., Pawar, S.M., Moholkar, A.V., Bhosale, C.H., Rajpure, K.Y., "Physical properties of transparent and conducting sprayed fluorine doped zinc oxide thin films", Solid State Sciences 10 (2008) 1209-1214. <https://doi.org/10.1016/j.solidstatesciences.2007.11.031>
- [35] Wang, L.K., Chen, J.J., Yu, J.Y., Zhao, H.L., Yang, J.K., "Highly textured spray-deposited $SnO_2:F$ films with high haze for solar cells", Vacuum 169 (2019) 108879. <https://doi.org/10.1016/j.vacuum.2019.108879>
- [36] Mahmoudiamirabad, Z., Eshghi, H., "Achievements of high figure of merit and infra-red reflectivity in $SnO_2:F$ thin films using spray pyrolysis technique", Superlattices and Microstructures 152 (2021) 106855. <https://doi.org/10.1016/j.spmi.2021.106855>
- [37] Thomas, R., Mathavan, T., Ganesh, V., Yahia, I.S., Zahran, H.Y., AlFiafy, S., Kathalingam, A., "Investigation of erbium co-doping on fluorine doped tin oxide via nebulizer spray pyrolysis for optoelectronic applications", Optical and Quantum Electronics 52 (2020) 248. <https://doi.org/10.1007/s11082-020-02376-8>
- [38] Memarian, N., Rozati, S.M., Elamurugu, E., Fortunato, E., "Characterization of $SnO_2:F$ thin films deposited by an economic spray pyrolysis technique", physica status solidi (c) 7 (2010) 2277-2281. <https://doi.org/10.1002/pssc.200983738>.
- [25] Asl, H.Z., Rozati, S.M., "Spray-deposited $CuO:In_2O_3$ nanocomposite thin film: Enhancement in electrochemical performance", Journal of Alloys and Compounds 928 (2022) 167211. <https://doi.org/10.1016/j.jallcom.2022.167211>
- [26] Karthick, P., Saravananakumar, K., Sanjeeviraja, C., Jeyadheepan, K., "Realization of highly conducting and transparent SnO_2 thin films by optimizing F/Sn molar ratio for electrochemical applications", Thin Solid Films 713 (2020) 138362. <https://doi.org/10.1016/j.tsf.2020.138362>
- [27] Calnan, S., Tiwari, A.N., "High mobility transparent conducting oxides for thin film solar cells", Thin Solid Films 518 (2010) 1839-1849. <https://doi.org/10.1016/j.tsf.2009.09.044>
- [28] Zhang, D.H., Ma, H.L., "Scattering mechanisms of charge carriers in transparent conducting oxide films", Applied Physics A 62 (1996) 487-492. <https://doi.org/10.1007/bf01567122>
- [29] Zhu, B.L., Liu, F., Li, K., Lv, K., Wu, J., Gan, Z.H., Liu, J., Zeng, D.W., Xie, C.S., "Sputtering deposition of transparent conductive F-doped SnO_2 (FTO) thin films in hydrogen-containing atmosphere", Ceramics International 43 (2017) 10288-10298. <https://doi.org/10.1016/j.ceramint.2017.05.058>
- [30] Kumar, M., Kumar, A., Abhyankar, A.C., "Influence of texture coefficient on surface morphology and sensing properties of W-doped nanocrystalline tin oxide thin films", ACS applied materials & interfaces 7 (2015) 3571-3580. <https://doi.org/10.1021/am507397z>
- [31] Javadian, A., Fadavieslsm, M.R., "Effect of substrate temperatures, spray rates, solution volumes, and nickel concentration on structural and optical properties of NiO thin films prepared by spray pyrolysis", Iranian Journal of Crystallography and Mineralogy 31 (2023) 165-182. <https://doi.org/10.52547/ijcm.31.1.165>